

## 討15 Nb その他のBCC金属の放射線損傷

東大工学部

井形直弘

§1序 鉄鋼の照射効果とBCC金属との比較することは次のような意味を有する。  
 ① BCC金属ではOの挙動が追跡出来ること。② 室温は $\alpha$ Feにとつては回復のStageⅢの温より上になるがBCC金属の多くにとつてはStageⅢ以下の温まにはまことなどである。こゝでは奥欠陥の挙動、軸位の緩和から照射硬化に至るまでの幾つかの問題についてとりあげてゆくこととする。

§2 奥欠陥の回復過程 回復過程としては~100°K以下に存在するStage I, 0.16Tm( $T_m$ :融点)に存在するStage III ( $\alpha$ Feでは0.12Tm), 2つのStageの間に存在するStage II, 0.22Tmに存在するStage IV ( $\alpha$ Feでは0.25Tm), 0.30Tmに存在するStage V, 0.35Tmに存在するStage VIに分けられる。

(i) Stage Iについて 電子線照射又は中性子線照射を行なった $\alpha$ Fe, Ta, Nb, W及びMoについて述べられている。夫々のStage Iを比較して次のようなことが知られている。  
 ① FCC金属ではStage Iのsubstageの幾つかは格子間原子(以下Iとする)及び原子空孔L(以下Vとする)の再結合によってまた1つ以上のSubstageはIの自由な動きによると考えられているが、BCC金属の場合格子間不純物原子(以下IIとする)によつてStage Iが大きく変る。②  $\alpha$ Feでは<110>方位を有する奥欠陥が自由な動きを示すことが多くの実験から結論されており、Wの内部摩擦の測定からも<110>型Iの緩和が検出され、フィールドイオン顕微鏡(以下FIMとする)でもたしかめられている。③ 回復はほとんどの反応であるが、不純物原子によるトラップも含まれていると考えられる。図1は1例を示す。

(ii) Stage III このStageは加工を行なった場合につけてもじらべられていけるが、IIすなわちC, N及びOによつて敏感である。図2にはその例を示す。けにれら原子の固溶限の極めて小さいMo, Wでは影響は極めて小さい。電子線照射を行なったMo及びWの結果は次のようまとめられている。① 単一熱活性化過程でありintrinsicな奥欠陥にもとづく② このStageではVはIより安定であつてIの動きが含まれている。③ 反応の次第はほとんどのあるが複雑である。④ につれてFIMによつて観察されている。

C, N及びOを固溶し得るTaの電子線照射では次のようなことが明らかとなつてゐる。① Stage IにおけるOの影響は大きいが室温(Stage IV)ではこの影響はえへ廻る。② OはStage III(170°K)にはほとんど影響されない。NithoulはStage Iでは<100>型のIがまたStage IIIでは<110>型のIが回復するという解釈を与えている。更に

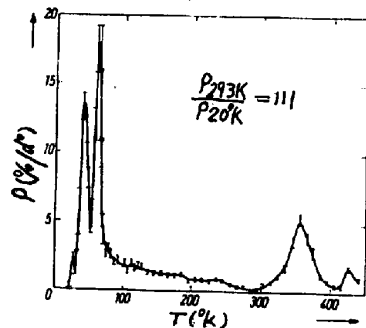


図1 電子線照射したNbの回復過程

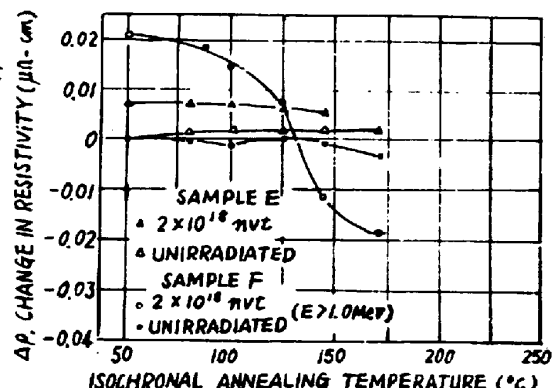


図2 <4ppm Oを含むE試料及び  
260ppm Oを含むF試料(共にNb)  
の中性子照射後の回復(Stage III)

<100>型 I は一部は  $20 \sim 40^{\circ}\text{K}$  で消滅し一部は 0 によつてトランジットされ Stage IV まで残る。Stage III が 0 に依存しないこともこれによつて認められる。

(iii) Stage IV 中性子照射を行なつた W の FIM による観察ではこの Stage 2 の原子空孔が消滅する。この減少と 1 次の反応とてその活性化エネルギーを求めるとき  $3.3 \text{ eV}$  となる。一方 He 急冷の実験から求めた原子空孔の形成エネルギーは  $3.3 \text{ eV}$  であり、両者の和  $6.6 \text{ eV}$  は自己拡散の活性化エネルギーに等しくなる。従つてこの Stage は原子空孔の動きによる回復であると考えられる。急冷の Fe の場合  $0.25 \text{ Tm}$  での回復過程の活性化エネルギーは  $1.1 \text{ eV}$  であり、この場合も形成の活性化エネルギー  $1.6 \text{ eV}$  との和  $2.7 \text{ eV}$  はほぼ自己拡散の活性化エネルギーと一致する。

図 3 車位の緩和過程と照射効果 Nb の車位の緩和ビーグとこれは低周波の場合  $\sim 50^{\circ}\text{K}$  に  $\alpha$  ピーク、 $100^{\circ}\text{K}$  に  $\beta$  ピーク、( $210^{\circ}\text{K}$  に  $\beta$  ピーク)、 $743^{\circ}\text{K}$  に 0 加エビーグ、 $813^{\circ}\text{K}$  に  $N$  ピークが存在する。このうち中性子照射効果が明らかにされているのは  $\alpha$  ピーク及  $\beta$  ピークである。中性子照射でバックラウンドは増大するがこれは車位が増すためと考えられてい。

(i)  $\alpha$  ピーク 加工及び照射によつて  $\alpha$  ピークが増大するの

は車位が増加するためであ

り、このピークは車位の緩和であると考えられる。活性化エネルギーは  $0.24 \text{ eV}$  であ

る。このピークは  $100^{\circ}\text{C}$  以上

での照射後焼なましにより

減少するがこれは "Stage III" の回復にもとづくものであり I 又は 0 の拡散にもとづくべきづけであると解釈される。このピークは Bordoni ピークあるいは Hasiguti ピークであると考えられる。

(ii)  $\beta$  ピーク このピークの照射量依存性は  $\alpha$  ピークと異なること、最初車位密度大きい方が

小さいこと、また車位ピーグが減少する温度範囲で遙に増大することなどから、車位の緩和とは考えにくい。これは  $65^{\circ}\text{C}$  で動き得る欠陥によつて形成された欠陥複合体に

もとづくものと考えられる。これらは  $200^{\circ}\text{C}$  以上では分解消滅する。これが欠陥にもとづくものであるとすると緩和の活性化エネルギー  $0.47 \text{ eV}$  は移動の活性化エネルギーより低いこととなる。これは I 又は V と J の複合欠陥にもとづくものと考えられる。

図 3 車位の摩擦力 車位の速さのテカ依存性

はエフチヒートによつて求められており次のようない

で求められてい。

$$\mu = \left( \frac{T}{T_0} \right)^{m^*}$$

種々の条件下での  $m^*$  の値及  $\mu$  の値を表 1 に示す。

また應力緩和の実験からも求め得る。

$$D = \dot{\varepsilon}_e + \dot{\varepsilon}_p = \frac{1}{E} \frac{d\sigma}{dt} + 0.5 b \rho v$$

従つて  $\mu$  は  $\frac{d\sigma}{dt}$  の測定より得られるが実験結果では  $\log \mu$

が  $\frac{1}{T}$  に比例して減少してあり次の形で整理できることを

示唆している。(図 4 参照)  $\mu = \mu_0 \exp - \frac{P}{T}$

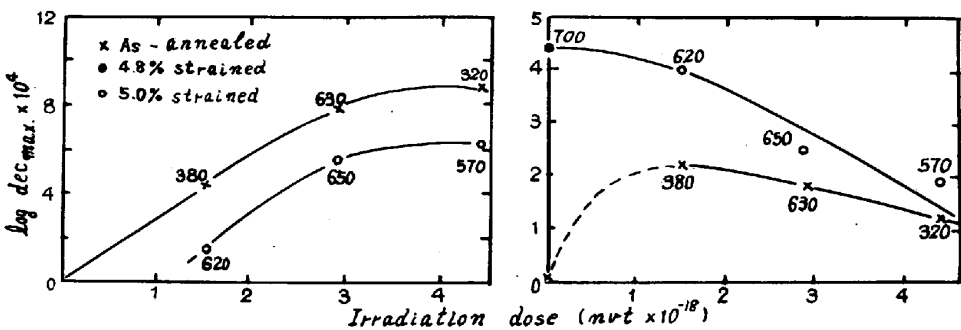


図 3 Nb の  $\alpha$  ピーク及  $\beta$  ピークに及ぼす中性子照射の影響

表 1 Nb 中車位の摩擦力

試料	温さ $^{\circ}\text{K}$	$m^*$	$T_0 \text{ kg/mm}^2$
非照射	300	15	4.4
"	194	15	12
"	77	18	63
" (レギュレート)	300	6.7	3.5
$1.6 \times 10^{17} \text{n/cm}^2$ ( $E > 1 \text{ MeV}$ )	300	10	7.7
$8.3 \times 10^{17} \text{n/cm}^2$ ( $E > 1 \text{ MeV}$ )	300	7	24

§5 電顕直接観察 中性子照射したNbにつき電顕直接観察を行なうと転位ループが認められる。このループは300°C以上に加熱するとサイズの小さい方は減少するが大きい方は増し、又その密度も16%程度増す。しかし400°Cに加熱する場合にはループは減少していく。又転位ループの密度はある程度から飽和していきループサイズが大きくなつてゆく。このことは転位ループの形成に不純物原子が寄与していることを示唆している。  
図5は転位ループの照射後あるいは照射後焼なまによる変化を示している。

これら転位ループと含む結晶に変形を与えると転位の運動が局所的に進み channel を形成するのかとめられる。図6

ほどの1例である。

このchannelは粒界ヘリカル転位は他のchannelにステップをつくるがそこを通過する転位の本数は1000~5000位である。

又channelを生ずる面は{110}でありその断面があらわれていると考えられる。また転位は矢印頭クリスターとsweepしている。

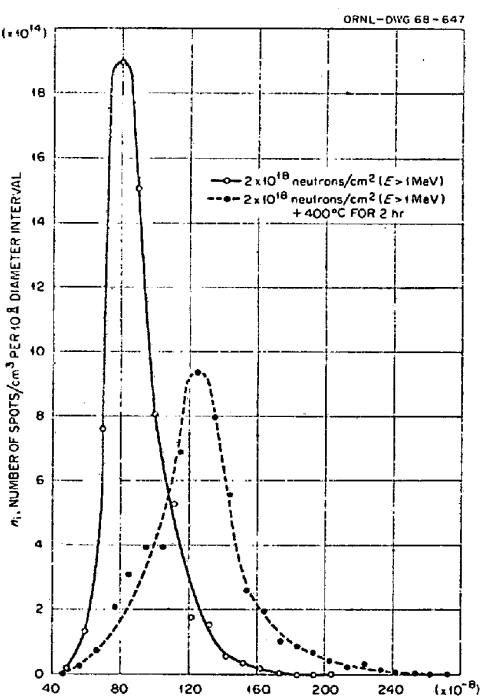


図5 照射後転位ループの分布

### §6 照射硬化

#### (i) 硬化の温度依存性及び歪速依存性

高純度Nb單結晶に $1.1 \times 10^{17} n/cm^2$ と $8.3 \times 10^{17} n/cm^2$ 照射した場合 硬化は<sup>主として</sup>athermal成分で生ずる。

また活性化容積  $V^*$  (活性化面積を  $A^*$  とすると  $V^* = bA^*$ ) 図7 照射したNb單結晶の活性化容積は次式であらわされる。

$$\frac{V^*}{kT} = \left( \frac{\ln \dot{\epsilon}}{\tau^*} \right)_T$$

$\tau^*$  は有効力と歪速を示す。図7 で見るよう  $V^*$  は歪量と共に変らないか、194°Kでは歪量と共に減少している。

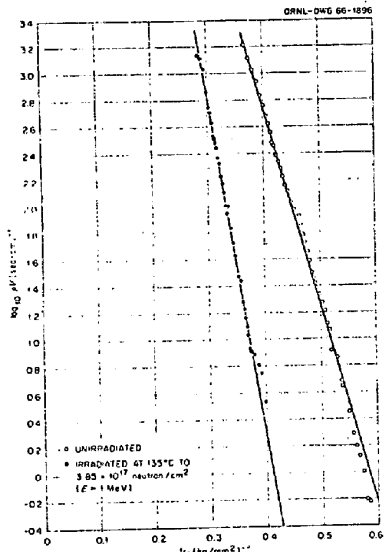


図4 照射したNbの広が緩和



図6 Nb(111)面でみとめられるchannel

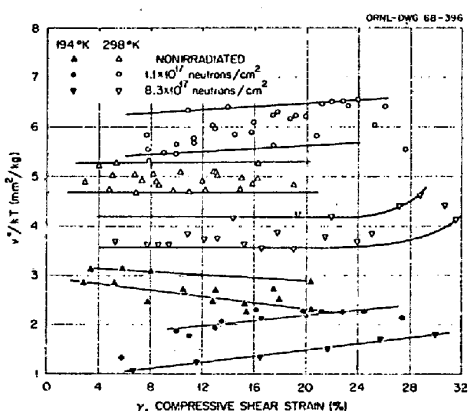


図7 照射したNb單結晶の活性化容積

(ii) 照射後焼なましの影響 図8に示すように  $200^{\circ}\text{C} \sim 400^{\circ}\text{C}$  で強度が増す。これは不純物原子が I 又は V の半位ループにトラップされるためにより多くの barrier を形成するためと考えられている。C の拡散を考えた場合  $6.1 \times 10^{15}/\text{cc}$  の  $93\text{A}$  直径の欠陥に  $60\text{ ppm}$  の C が析出するとすると欠陥密度  $4000$  とすることになる。従って析出原子数より次の式を用いて温度及び時間と推定することができます。

$$N(t) = 5.3 C_0 \left( \frac{ADt}{T} \right)^{1/2}$$

$C_0$  は核散乱数である。コットレル寿命は  $300^{\circ}\text{C}$  2時間で形成されることになり照射後焼なましの硬化度とほぼ一致する。

(iii) 照射量依存性 図9は Nb の照射硬化の質量依存性を示す。

硬化は中の空洞に比例しているが  $10^{18} \text{n/cm}^2$  以上で slope はゆるやかとなる。これは真欠陥クラスターが格子間不純物原子によって形成されそれがある照射量で exhaust するためであると考えられる。

(iv) 照射硬化の機構 真欠陥析出相の厚さを電鏡で観察されることは半位ループの半径  $R$  とすると、

Kroupa and Hirsch の方法により

らせん半位に対する最大相互作用エネルギーは

$\mu$  はせん断強度率である。これより  $F_{\max} = \frac{1}{4} \mu b^2$  であるが降伏強度の増加量では次のようになる。

$$\Delta T = \frac{\mu b}{4l}$$

ここで  $l$  は次のようにあらわされています。  
 $l = (\sum n_i d_i)^{1/2}$  ( $n_i$  は欠陥の数  $d_i$  はサイズ)

$$\therefore \Delta T = \frac{1}{4} \mu b (\sum n_i d_i)^{1/2}$$

また  $n_i$  は次のようにあらわされる。  
 $n_i = N \sigma_B \phi$

但し  $\phi$  は質量  $\sigma_B$  は欠陥形成断面積  $\therefore \Delta T = \frac{1}{4} \mu b (N \sigma_B \phi)^{1/2}$

以上 Nbを中心とする BCC 金属の放射線損傷を概観的に述べたが、幾つかの問題点が残る。それは金鉄鋼の場合も含めて C, N, O と真欠陥とより形成される複合真欠陥 <sup>主に</sup> 半位ループが照射硬化において重要な因子であると云う点である。筆者らの Nb の電子線照射及び中性子低温照射の実験結果を通じて論じよう。

引用文献 52 については J. Nihoul, Interstitials and Vacancies in Metals, (1969) 839 より、53 については M.W. Stanley and Z.C. Szkopiak, J. of Nuclear Materials 23 (1967) 163 より、また 54 ～ 57 については ORNL-3949 (1966), ORNL-4195 (1967), ORNL-4246 (1968) ORNL-4334 (1969) を参照した。

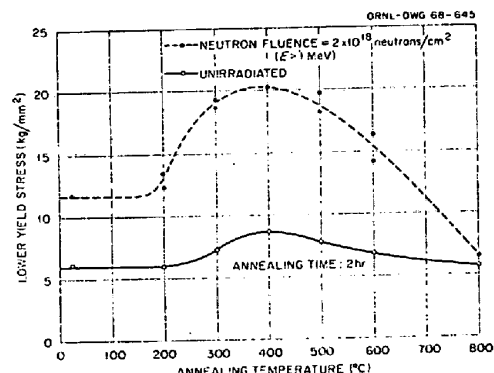


図8 Nbの下降伏強度に及ぼす  
照射後焼なまし効果

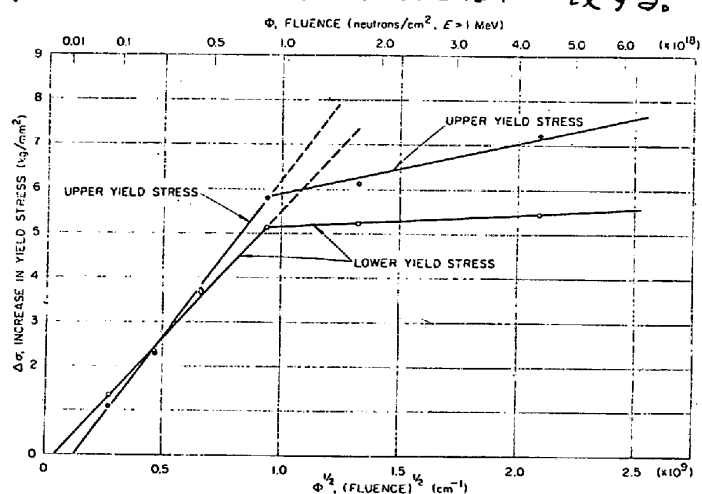


図9 Nb 照射硬化の質量依存性

$$E_{\max} = \frac{1}{4} \mu b^2 R$$

また  $E_{\max}$  は降伏強度の増加量では

$$\Delta T = \frac{\mu b}{4l}$$

ここで  $l$  は次のようにあらわされています。  
 $l = (\sum n_i d_i)^{1/2}$  ( $n_i$  は欠陥の数  $d_i$  はサイズ)

$$\therefore \Delta T = \frac{1}{4} \mu b (\sum n_i d_i)^{1/2}$$

また  $n_i$  は次のようにあらわされる。  
 $n_i = N \sigma_B \phi$

但し  $\phi$  は質量  $\sigma_B$  は欠陥形成断面積  $\therefore \Delta T = \frac{1}{4} \mu b (N \sigma_B \phi)^{1/2}$

以上 Nbを中心とする BCC 金属の放射線損傷を概観的に述べたが、

幾つかの問題点が残る。それは金鉄鋼の場合も含めて C, N, O と真欠陥とより

形成される複合真欠陥 <sup>主に</sup> 半位ループが照射硬化において重要な因子であると

云う点である。筆者らの Nb の電子線照射及び中性子低温照射の実験結果を通じて論じよう。

引用文献 52 については J. Nihoul, Interstitials and Vacancies in Metals, (1969) 839

より、53 については M.W. Stanley and Z.C. Szkopiak, J. of Nuclear Materials 23 (1967) 163

より、また 54 ～ 57 については ORNL-3949 (1966), ORNL-4195 (1967), ORNL-4246 (1968) ORNL-4334 (1969) を参照した。